

## Article

# Virulence and Antifungal Susceptibility of *Microsporium canis* Strains from Animals and Humans

 Chioma Inyang Aneke <sup>1,2</sup>, Wafa Rhimi <sup>1</sup>, Vit Hubka <sup>3,4</sup>, Domenico Otranto <sup>1,5</sup> and Claudia Cafarchia <sup>1,\*</sup>
<sup>1</sup> Dipartimento di Medicina Veterinaria, Università degli Studi “Aldo Moro”, 70010 Bari, Italy; chioma.aneke@unn.edu.ng (C.I.A.); wafa.rhimi@uniba.it (W.R.); domenico.otranto@uniba.it (D.O.)

<sup>2</sup> Department of Veterinary Pathology and Microbiology, University of Nigeria, 410001 Nsukka, Nigeria

<sup>3</sup> Department of Botany, Faculty of Science, Charles University, 12801 Prague 2, Czech Republic; vit.hubka@gmail.com (V.H.)

<sup>4</sup> Laboratory of Fungal Genetics and Metabolism, Institute of Microbiology of the Academy of Sciences, 14220 Prague 4, Czech Republic

<sup>5</sup> Faculty of Veterinary Sciences, Bu-Ali Sina University, 6517658978 Hamedan, Iran

\* Correspondence: claudia.cafarchia@uniba.it; Tel.: +39-080-4679834; +39-3385257824

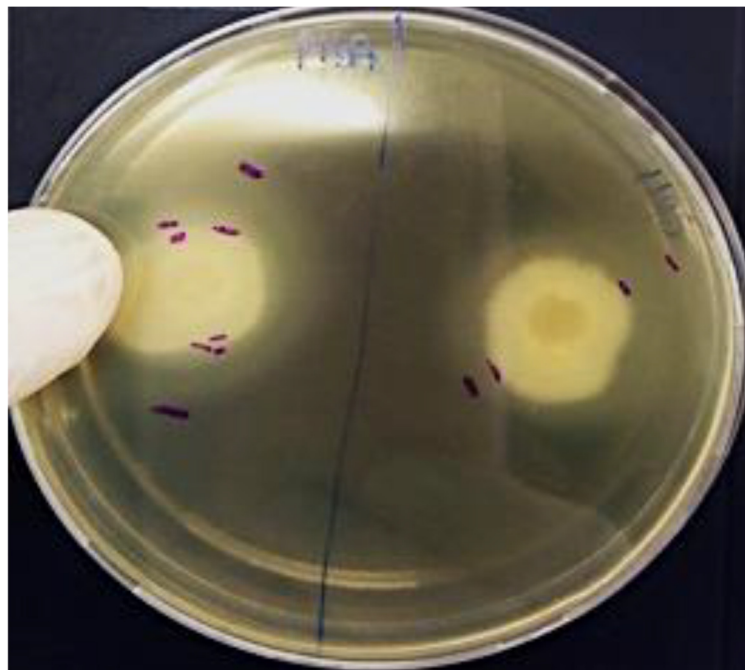
**Table S1.** Raw data and genotypes.

Sample Code	Group (A, AL, H)	Low High Cat-		Lipase	Hemolysis	Low Thermotholerance	High Thermotholerance	ITS Genotype
		Phospholipase Producer	Catalase Producer					
CD1134	A	Y		Y	Y	Y		G1
CD1598	AL	Y		Y	Y	Y		G1
CD1192	A	Y		Y	Y	Y		G1
CD1193	AL	Y		Y	Y	Y		G1
CD1209	AL	Y		Y	Y		Y	G1
CD1306	AL	Y		Y	Y	Y		G1
CD387	AL	Y		Y	Y	Y		G1
CD409	A	N		Y	Y	Y		G1
CD412	AL	Y		Y	Y	Y		G1
CD430	AL	Y		Y	Y	Y		G1
CD760	A	Y		Y	Y		Y	G1
CD1307	AL	Y		Y	Y		Y	G2
CD1308	A	Y		Y	Y	Y		G2
CD1289	AL	Y		Y	Y	Y		G2
CD1131	AL	Y		Y	Y		Y	G1
CD1132	AL	Y		Y	Y	Y		G1
CD1135	AL	Y	Y	Y	Y	Y		G1
CD1143	H	Y		Y	Y	Y		G1
CD1145	A	Y		Y	Y	N	Y	G1
CD1146	AL	Y		Y	Y	Y	Y	G1
CD1148	AL	Y		Y	Y	Y	Y	G1
CD1149	AL	Y		Y	Y	Y	Y	G1
CD1150	H	Y		Y	Y	Y		G1
CD1151	AL	N	Y	Y	Y	Y	Y	G1
CD1152	H	Y		Y	Y	Y		G1
CD1153	AL	N		Y	Y	Y		G1
CD1190	A	Y	Y	Y	N	Y		G1
CD1191	AL	Y		Y	Y	Y	Y	G1
CD1194	AL	Y		Y	Y	Y		G1
CD1195	AL	Y		Y	Y	Y	Y	G1
CD1196	H	Y		Y	Y	Y		G1
CD1211	AL	Y		Y	Y	Y	Y	G1
CD1229	AL	N	Y	Y	Y	Y		G1
CD1230	AL	Y		Y	Y	Y		G1
CD1231	A	Y		Y	Y	Y	Y	G1
CD1232	AL	Y	Y	Y	Y	Y		G1
CD1233	AL	Y		Y	Y	Y	Y	G1
CD1235	AL	Y		Y	Y	Y	Y	G1

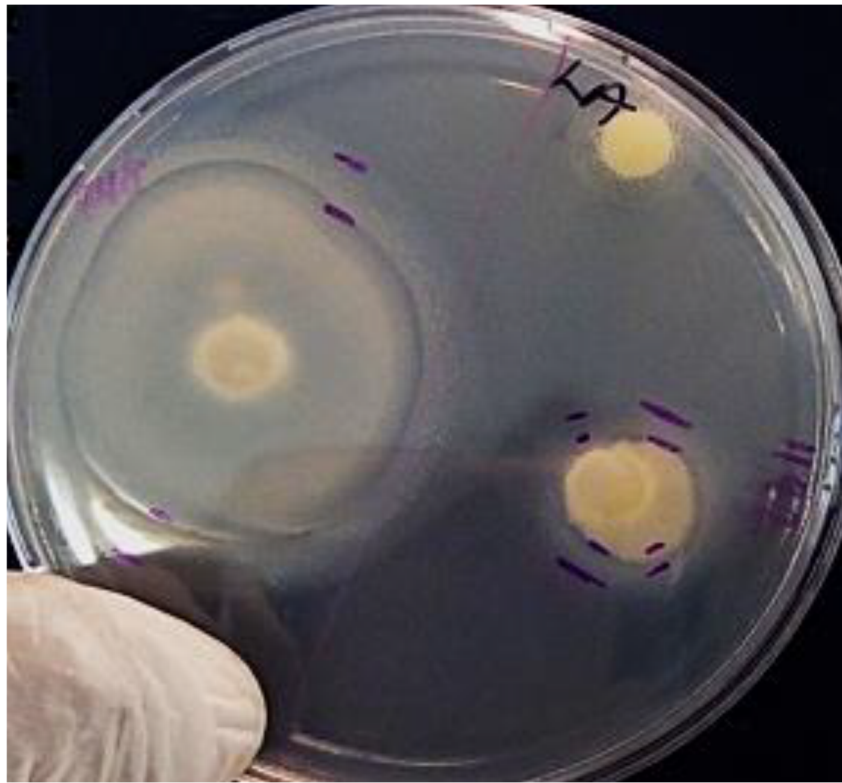
CD1242	AL	Y		Y	Y	Y		Y	G1
CD1279	AL	Y		Y	Y	Y	Y		G1
CD1320	AL	Y	Y		Y	Y	Y		G1
CD1565	AL	Y		Y	Y	Y	Y		G1
CD1567	AL	Y		Y	Y	Y	Y		G1
CD1595	A	Y		Y	Y	Y	Y		G1
CD1600	AL	Y		Y	Y	Y		Y	G1
CD1601	AL	Y		Y	Y	Y	Y		G1
CD1602	AL	Y		Y	Y	Y		Y	G1
CD367	AL	Y		Y	Y	Y	Y		G1
CD382	AL	Y		Y	Y	Y		Y	G1
CD383	A	Y		Y	Y	Y	Y		G1
CD384	H	Y		Y	Y	Y	Y		G1
CD396	H	Y		Y	Y	Y		Y	G1
CD415	A	Y		Y	Y	Y		Y	G1
CD416	AL	Y		Y	Y	Y		Y	G1
CD441	AL	Y	Y		Y	Y	Y		G1
CD448	A	Y	Y		Y	Y		Y	G1
CD761	AL	N		Y	Y	Y		Y	G1
CD975	AL	Y		Y	Y	Y	Y		G1
CD976	AL	Y		Y	Y	Y	Y		G1
CD978	A	N		Y	Y	N		Y	G1
CD979	AL	Y		Y	Y	Y		Y	G1
CD980	AL	N		Y	Y	Y	Y		G1

Key: A = Animal without lesion; AL = Animal with lesion, H = Human; Y = Yes; N = No.

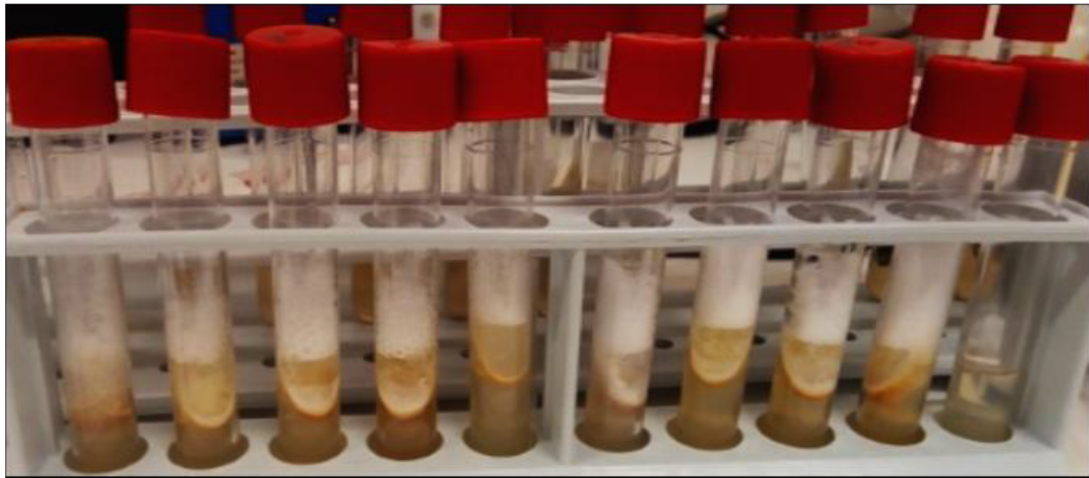
**Figure S1.** Virulence factors. (a) Phospholipase activity on egg-yolk medium—a clear halo zone of clearance around the colony indicated phospholipase production. (b) Lipase activity on 1% tween 80 medium—a clear halo zone of clearance around the colony indicated lipase production (c) Catalase activity on PDA medium—column of bubbles indicated catalase production. (d) Hemolytic activity on Columbia blood agar—a transparent zone of clearance around the colony indicated hemolysis. (e) Thermotolerance determination on PDA medium.



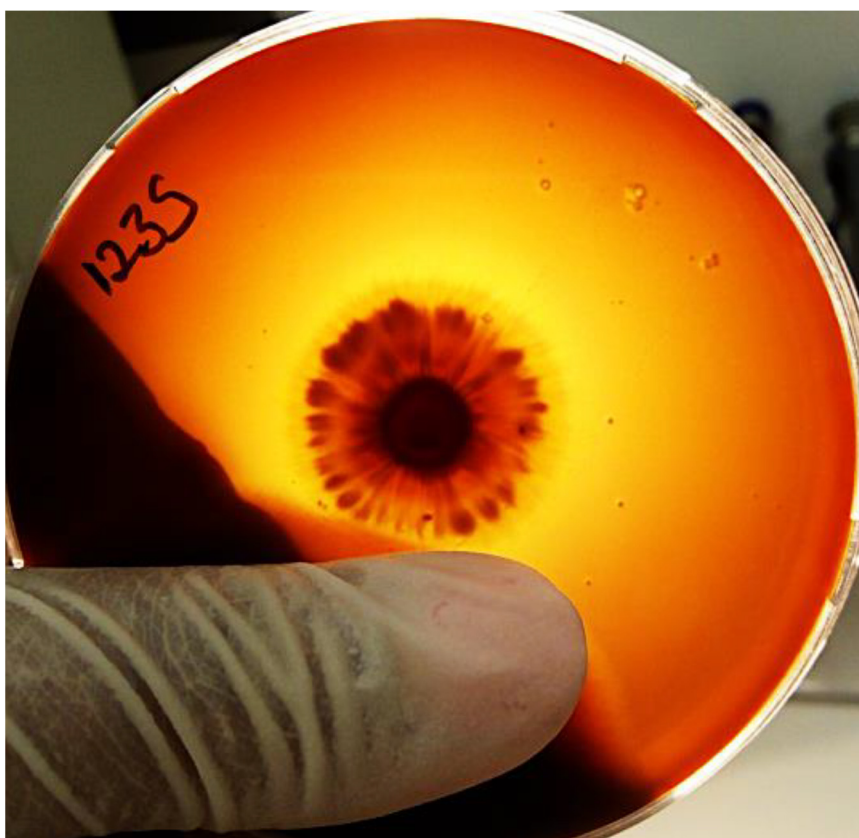
(a)



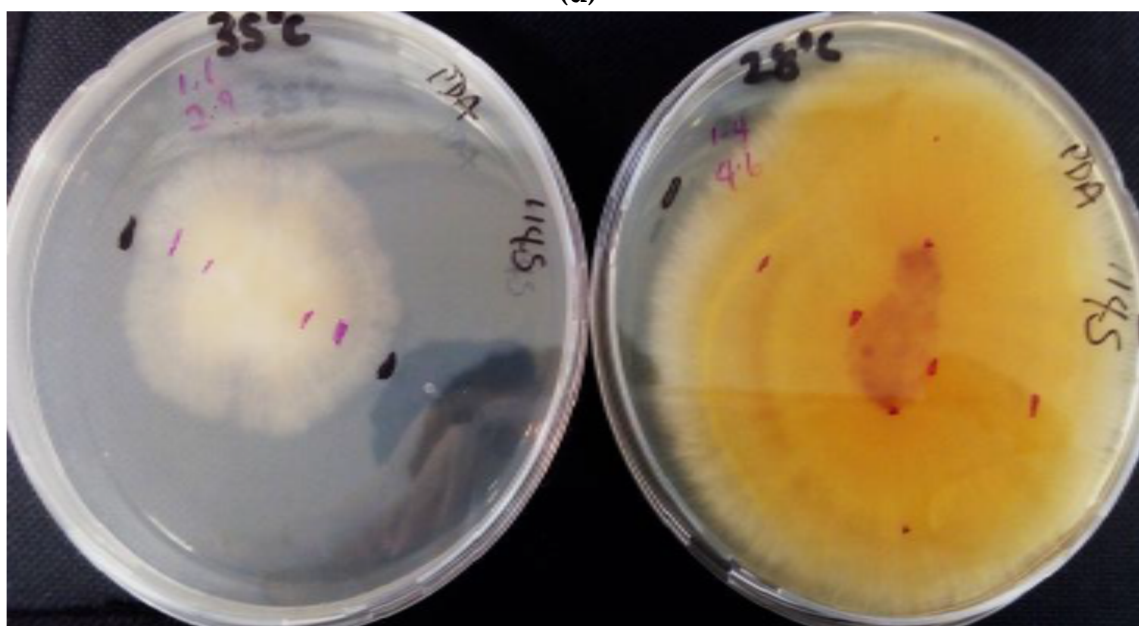
(b)



(c)



(d)



(e)